

СООТНОШЕНИЯ ПОДОБИЯ, ПОЛУЧЕННЫЕ ИЗ НЕОДНОРОДНОГО ОДНОСКОРОСТНОГО КИНЕТИЧЕСКОГО УРАВНЕНИЯ ДЛЯ НЕЙТРОНОВ

Н. Б. Бабичев, А. А. Севастьянов

ФГУП «РФЯЦ-ВНИИЭФ», 607188, г. Саров Нижегородской обл.

Получены и опробованы новые формулы подобия нейтронно-кинетических процессов.

Ключевые слова: кинетическое уравнение, формулы подобия, инвариантность.

Введение

В работе [1] теория подобия разработана на основе однородного уравнения переноса нейтронов в профильных системах с произвольной геометрией.

Цель данной статьи заключается в нахождении соотношений подобия, исходя из неоднородного кинетического уравнения.

1. Вывод соотношений подобия

В статье [1] представлено однородное односкоростное уравнение переноса нейтронов в профильных системах. Дополнив его источником с интенсивностью Q (количество нейтронов, испускаемых в единичный объем в момент времени t в точке \vec{r} за единицу времени), получаем следующее неоднородное безразмерное уравнение переноса нейтронов в профильных нестационарных системах:

$$\left[Z \frac{\partial}{\partial \tau} + \left(\bar{\Omega} \frac{\partial}{\partial \bar{\zeta}} \right) \right] \psi(\tau, \bar{\zeta}, \bar{\Omega}) + \frac{\bar{\alpha}}{\beta} ZA(\bar{\zeta})\psi(\tau, \bar{\zeta}, \bar{\Omega}) = \frac{ZB(\bar{\zeta})}{4\pi} \int d\bar{\omega} \psi(\tau, \bar{\zeta}, \bar{\omega}) + S(\tau, \bar{\zeta}), \quad (1)$$

$$\tau = \beta V t, \quad (2)$$

$$\bar{z} = \beta \vec{r}, \quad (3)$$

$\bar{\zeta} = \frac{\bar{z}}{Z}$, $Z = \beta R$ – характерный размер объекта в \bar{z} -пространстве, $S(\tau, \bar{\zeta})$ – безразмерный источник нейтронов, а используемый далее $Q(t, \vec{r})$ имеет размерность $1/(\text{см}^3 \cdot \text{с})$.

В уравнение (1) входят средние по объему системы параметры $\bar{\alpha}$, β и профильные функции $A(\bar{\zeta})$, $B(\bar{\zeta})$, нормированные следующим образом:

$$\int d\bar{\zeta} A(\bar{\zeta}) = \int d\bar{\zeta} B(\bar{\zeta}) = \int d\bar{\zeta} = 1. \quad (4)$$

Появление источника в кинетическом уравнении приводит к следующим дополнениям:

$$S(\tau, \bar{z}) = \bar{S}(\tau) q(\bar{\zeta}), \quad (5)$$

$\bar{S}(\tau)$ – зависящий от безразмерного времени источник нейтронов, усредненный по объему; $q(\bar{\zeta})$ – соответствующая профильная функция, для которой принята аналогичная (4) нормировка

$$\int d\bar{\zeta} q(\bar{\zeta}) = \int d\bar{\zeta} = 1. \quad (6)$$

Воспользуемся свойством инвариантности уравнения переноса нейтронов (1) по отношению к преобразованиям подобия

$$\tau \rightarrow \tau' = \frac{Z'}{Z} \tau = \frac{\beta' R'}{\beta R} \tau, \quad (7)$$

$$\bar{z} \rightarrow \bar{z}' = \frac{Z'}{Z} \bar{z} = \frac{\beta' R'}{\beta R} \bar{z}, \quad (8)$$

при этом $\bar{\zeta}' = \bar{\zeta}$.

Переход к штрихованной функции распределения нейтронов дает уравнение

$$\left[Z' \frac{\partial}{\partial \tau'} + \left(\bar{\Omega} \frac{\partial}{\partial \bar{\zeta}'} \right) \right] \psi'(\tau', \bar{\zeta}', \bar{\Omega}) + \frac{\bar{\alpha}'}{\beta'} Z' A'(\bar{\zeta}') \psi'(\tau', \bar{\zeta}', \bar{\Omega}) = \frac{Z' B'(\bar{\zeta}')}{4\pi} \int d\bar{\omega} \psi'(\tau', \bar{\zeta}', \bar{\omega}) + S'(\tau', \bar{\zeta}') \quad (9)$$

такого же вида, как (1), если выполняются следующие инвариантные соотношения:

$$\bar{\beta}' \bar{r}' = \bar{\beta} \bar{r}; \quad (10)$$

$$Z' = \bar{\beta}' R' = Z = \bar{\beta} R, \quad (11)$$

где R' и R – характерные размеры двух подобных систем в \bar{r} -пространстве;

$$\tau' = \frac{\bar{\beta}' R'}{\bar{\beta} R} \tau; \quad (12)$$

$$\begin{aligned} \bar{\beta}' R' B'(\bar{\zeta}') &= \bar{\beta} R B(\bar{\zeta}), \quad \bar{\alpha}' R' A'(\bar{\zeta}') = \bar{\alpha} R A(\bar{\zeta}), \\ \bar{S}'(\tau') q'(\bar{\zeta}') &= \bar{S}(\tau) q(\bar{\zeta}). \end{aligned} \quad (13)$$

Функции распределения нейтронов в любых двух подобных системах связаны следующим образом:

$$\psi_2(\tau_2, \bar{\zeta}_2, \bar{\Omega}) = C_{1,2} \psi_1(\tau_1, \bar{\zeta}_1, \bar{\Omega}). \quad (14)$$

Формула подобия (14) справедлива, если выполняются условия (10) – (13).

Нормировочную константу $C_{1,2}$ можно заменить на одну условную единицу, приняв, к примеру, что при $z_2 = 0$ и $z_1 = 0$ $\psi_2 = \psi_1$.

Далее будем считать, что постоянная $C_{1,2}$ равна единице.

При переходе из \bar{z} -пространства в фазовое пространство векторов $\bar{r}, \bar{\Omega}$ (14) превращается в

$$\psi_2(t, \bar{r}, \bar{\Omega}) = \psi_1\left(\frac{R_2}{R} t, \frac{R_2}{R} \bar{r}, \bar{\Omega}\right) \quad (15)$$

и источники нейтронов подчиняются соотношению подобия

$$Q_2(t, \bar{r}) R_2 = Q_1\left(\frac{R_2}{R} t, \frac{R_2}{R} \bar{r}\right) R. \quad (16)$$

В выражениях (15) и (16) в качестве R_1 взят характерный размер первой системы R .

2. Результаты расчетов и аналитических вычислений

2.1. Постановка задачи

Численные расчеты проводились по одной из математических программ [2] при значении скорости нейтронов $V = 10^9$ см/с.

Рассмотрим подобные шары с профилями параметров $\alpha(\xi), \beta(\xi)$ у одного шара и $\alpha'(\xi'), \beta'(\xi')$ у второго шара, где $\xi = \frac{r}{R}, \xi' = \frac{r'}{R'}$.

Пусть для примера шары являются двухобластными, в которых объем центральной области в три раза меньше полного объема, с профильными функциями

$$A(\xi) = B(\xi) = \begin{cases} 1,5 & \text{при } 0 < \xi \leq \left(\frac{1}{3}\right)^{\frac{1}{3}}, \\ 0,75 & \text{при } \left(\frac{1}{3}\right)^{\frac{1}{3}} < \xi \leq 1, \end{cases} \quad (17)$$

$$A'(\xi') = A(\xi), \quad B'(\xi') = B(\xi)$$

и значении $\bar{\beta} R = \bar{\beta}' R' = 1,788$.

У исходного шара выберем $\bar{\alpha} = 0,3733$ 1/см, $\bar{\beta} = 0,6384$ 1/см, $R = 2,8$ см.

Формулой подобия (16) можно пользоваться при любой зависимости источника от времени. Ниже она применялась для следующего частного случая.

В центральной области шара в течение времени $0 < t < 2 \cdot 10^{-7}$ с действует, а затем при $t > 2 \cdot 10^{-7}$ с отключается источник нейтронов

$$Q(t, \xi) = \bar{Q}_0(t) q(\xi), \quad \frac{\partial \bar{Q}_0(t)}{\partial t} = 0, \quad (18)$$

$$\bar{Q}_0(t) = 42735 \text{ нейтр./}(\text{см}^3 \cdot \text{с}) \text{ при } t < 2 \cdot 10^{-7} \text{ с,}$$

$$q(\xi) = \begin{cases} 1 & \text{при } 0 < \xi \leq \left(\frac{1}{3}\right)^{\frac{1}{3}}, \\ 0 & \text{при } \left(\frac{1}{3}\right)^{\frac{1}{3}} < \xi \leq 1. \end{cases} \quad (19)$$

В подобном шаре с $\bar{\alpha}' = 0,1867$ 1/см, $\bar{\beta}' = 0,3192$ 1/см, $R' = 5,6$ см

$$Q'(t', \xi') = \bar{Q}'_0(t')q'(\xi'), \quad (20)$$

$$\bar{Q}'_0(t') = \frac{R}{R'} \bar{Q}_0 \left(\frac{R'}{R} t' \right) = 21367,5 \text{ нейтр./}(\text{см}^3 \cdot \text{с}) \quad (21)$$

при $t' < 4 \cdot 10^{-7}$ с,

$$q'(\xi') = q(\xi). \quad (22)$$

2.2. Эволюция процессов нейтронной кинетики во времени

График полученной в численном расчете для исходного шара зависимости логарифмической производной $\frac{1}{N(t)} \frac{dN(t)}{dt}$ от полного числа нейтронов $N(t)$ представлен на рис. 1.

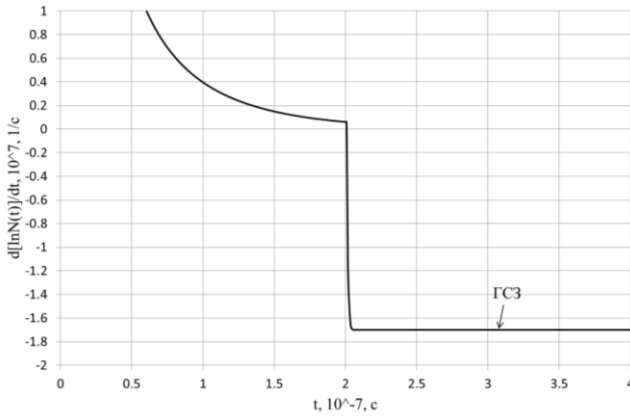


Рис. 1. Зависимость $\frac{1}{N(t)} \frac{dN(t)}{dt}$ в исходном шаре

Из рисунка видно, что после выключения источника нейтронов логарифмическая производная за короткое время $\Delta t = 0,1 \cdot 10^{-7}$ с выходит на главное собственное значение (ГСЗ)

$$\lambda_{\text{расч}} = -1,7 \cdot 10^7 \text{ 1/с}. \quad (23)$$

Для подобного шара расчет привел к значению ГСЗ

$$\lambda'_{\text{расч}} = -0,85 \cdot 10^7 \text{ 1/с}. \quad (24)$$

На рис. 2 приведены графики нейтронных плотностей в подобном шаре $n'(t', \xi' = \frac{r'}{R'})$ на разные моменты времени, полученные из формулы подобия

$$n'(t, r) = n \left(\frac{R'}{R} t, \frac{R'}{R} r \right), \quad (25)$$

и из расчета $n'_{\text{расч}}(t', \xi')$.

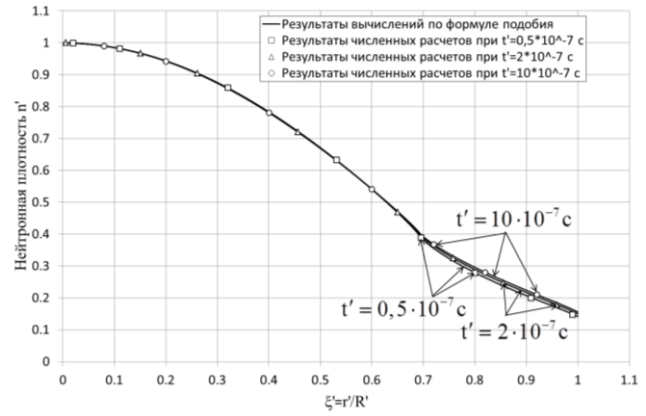


Рис. 2. Зависимость нейтронной плотности в подобном шаре от относительного радиуса в некоторые моменты времени

Нейтронные плотности отнормированы на единицу в центре шара.

Отметим, что погрешность численного расчета $\delta = \frac{|n'_{\text{расч}}(t', \xi') - n'(t', \xi')|}{n'_{\text{расч}}(t', \xi')}$ не превышает 0,8 %

при $t' = 0,5 \cdot 10^{-7}$ с, 0,08 % при $t' = 2 \cdot 10^{-7}$ с и 0,009 % при $t' = 10 \cdot 10^{-7}$ с.

Из рис.2 видно, что нейтронная плотность в момент $t' = 2 \cdot 10^{-7}$ с, когда еще действует источник нейтронов, незначительно отличается от $n'(t', \xi')$ на далекий момент времени $t' = 10 \cdot 10^{-7}$ с.

Наибольшие отклонения нейтронной плотности от $n'(t' = 0,5 \cdot 10^{-7}$ с, $\xi')$ на некоторые моменты времени приведены в табл. 1.

Таблица 1

Максимальные отклонения нейтронной плотности от $n'(t' = 0,5 \cdot 10^{-7}$ с, $\xi')$ при $t' \geq 0,5 \cdot 10^{-7}$ с

$t', 10^{-7}, \text{с}$	$\delta = \frac{ n'(t', \xi') - n'(t' = 0,5 \cdot 10^{-7} \text{ с}, \xi') }{n'(t', \xi')}, \%$
0,5	0
2	6,052
3	6,516
4	6,679
5	9,632
10	9,651

Из таблицы видно, что после выключения источника при $t' = 4 \cdot 10^{-7}$ с распределение нейтронов в подобной системе быстро выходит на главную собственную функцию (ГСФ).

Приведем нейтронные плотности в подобном шаре (без нормировки) в процессе их изменения во времени.

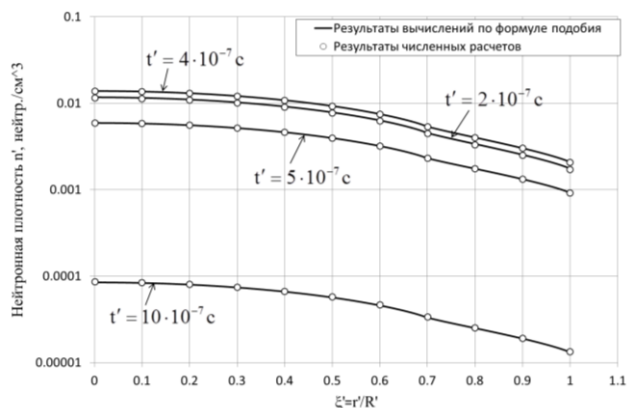


Рис. 3. Изменение нейтронной плотности в подобном шаре со временем

Из рис. 3 видно, что нейтронная плотность со временем растет до выключения источника нейтронов, далее она падает. Совпадение результатов вычислений по формуле подобия (25) (линии) и результатов численных расчетов (маркеры) обусловлено выполнением соотношения подобия (16) для источника.

2.3. Сравнение характеристик некоторых подобных однородных шаров, выполненных из изотопов ²³⁸Pu и ²³⁹Pu

Изотоп ²³⁸Pu характеризуется высоким удельным выходом нейтронов при спонтанных делениях ядер $2,59 \cdot 10^3$ нейтр./($\text{г} \cdot \text{с}$) (см. [3]), что на пять порядков больше, чем у ²³⁹Pu. Удельная интенсивность нейтронного выхода у изотопа ²³⁹Pu составляет $2,18 \cdot 10^{-2}$ нейтр./($\text{г} \cdot \text{с}$).

В работе [4] показано, что из-за сильного самоподогрева ²³⁸Pu вследствие α -распада только миниатюрные объекты не подвержены плавлению. Ниже рассматривается малый по размеру шар из ²³⁸Pu, размер которого оценен в [4].

В аналитических вычислениях и расчетах были приняты следующие однопоровые нейтронные константы ²³⁸Pu и ²³⁹Pu.

Т а б л и ц а 2

Значения параметров $\alpha(\rho_0)$, $\beta(\rho_0)$ и активности h (см. [5])

Изотоп	²³⁸ Pu	²³⁹ Pu
Кристаллическая плотность ρ_0 , г/см ³	19,84	19,851
$\alpha(\rho_0)$, 1/см	0,2691	0,2779
$\beta(\rho_0)$, 1/см	0,4602	0,4607
$h = \beta/\alpha$	1,7101	1,6578

Рассмотрим исходный шар из ²³⁸Pu с радиусом $R = 0,1$ см, в котором действует постоянный источник спонтанных делений Q_0 . Если плотность плутония $\rho = 16,5$ г/см³, то $Q_0 = 42735$ нейтр./($\text{см}^3 \cdot \text{с}$), $\alpha = 0,2238$ 1/см, $\beta = 0,3827$ 1/см, $\beta R = 0,03827$.

У подобного шара из ²³⁹Pu $Q'_0 = 0,36$ нейтр./($\text{см}^3 \cdot \text{с}$) и его радиус $R' = R \frac{Q_0}{Q'_0} = 11881$ см.

Приведем нейтронную плотность в подобном шаре, полученную вычислением по формуле подобия (25) и с помощью численного расчета.

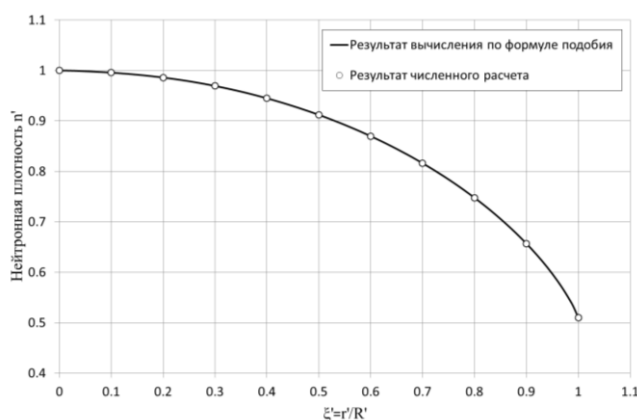


Рис.4. Пространственная зависимость нейтронной плотности в подобном шаре, нормированная на единицу в центре

Погрешность расчетной нейтронной плотности в случае шара из ²³⁹Pu не превышает 0,008 %. Для достижения высокой точности численный расчет характеристик подобного шара из ²³⁹Pu из-за его огромного размера ($R = 119$ м) потребовал в полторы тысячи раз больших затрат машинного времени, чем расчет в случае исходного шара из ²³⁸Pu. Таким образом, решенные выше задачи представляют собой яркий пример практической ценности формул подобия.

Заключение

На основе неоднородного кинетического уравнения разработаны элементы теории подобия процессов нейтронной кинетики, протекающих в нестационарных системах.

Из общих результатов можно легко получить частные формулы подобия, справедливые для стационарных объектов.

Отметим, что формулы подобия (15), (16) остаются в силе и в случае анизотропного источ-

ника нейтронов $Q(\tau, \vec{z}, \vec{Y})$, в котором анизотропия описывается вектором $\vec{Y} \neq \vec{\Omega}$.

Полученные выше новые теоретические материалы подтверждены результатами численных расчетов и вычислений по формулам подобия.

Список литературы

1. Бабичев Н. Б. Усовершенствование теории подобия процессов нейтронной кинетики и результаты новых аналитических исследований // См. настоящий выпуск. С. 46–56.

2. Шагалиев Р. М., Гребенников А. Н., Артемьев А. Ю., Будников В. И. Развитие основных

методик и программ ИТМФ // Журнал Атом, 2011, № 50–51.

3. Perry R. T. and Wilson W. B. Neutron Production from (α, n) Reactions and Spontaneous Fission in ThO_2 , UO_2 , and $(\text{U}, \text{Pu})\text{O}_2$ Fuels. Los Alamos National Laboratory report LA-8869-MS (June 1981).

4. Бабичев Н. Б., Севастьянов А. А. Об эффекте саморазогрева плутония-238 в простых по геометрии сферически-симметричных системах // ВАНТ. Сер. Теоретическая и прикладная физика. 2014. Вып. 3. С. 85–88.

5. Бабичев Н. Б., Севастьянов А. А. Критические параметры однородных шаров, состоящих из плутония-238 и плутония-239 // ВАНТ. Сер. Теоретическая и прикладная физика. 2014. Вып. 3. С. 28–35.

Статья поступила в редакцию 20.04.2015